

4. Жариков И. Ф., Немчинов И. В., Цикулин М. А. Исследование воздействия на твердое вещество светового излучения, полученного при помощи источника взрывного типа.— ПМТФ, 1967, № 1.
5. Войтенко А. Е. Получение газовых струй большой скорости.— ДАН СССР, 1964, т. 158, № 6.
6. Кологривов В. Н. Количество освещения, сообщаемое фотографическому слою при записи на идеальном фоторегистраторе.— Журн. научной и прикладной фотографии и кинематографии, 1962, т. 7, № 4.
7. Кузнецов Н. М. Термодинамические функции и ударные адиабаты воздуха при высоких температурах. М.: Машиностроение, 1965.
8. Рэди Д. Действие мощного лазерного излучения. М.: Мир, 1974.
9. Crowley B. K., Glenn I. D. Numerical simulation of a high-energy (Mach 120 to 40) air-shock experiment.— In: Proceedings of the 7th Intern. Shock Tube Symposium. Toronto, Canada, 1969.
10. Цикулин М. А., Попов Е. Г. Излучательные свойства ударных волн в газах. М.: Наука, 1977.

УДК 533.9.082.76

## О СТРУКТУРЕ НЕДОРАСПИРЕННЫХ СТРУЙ ПЛАЗМЫ АРГОНА В ПЕРЕХОДНОМ РЕЖИМЕ<sup>1</sup>

Г. А. Лукъянов, В. В. Назаров, В. В. Сахин

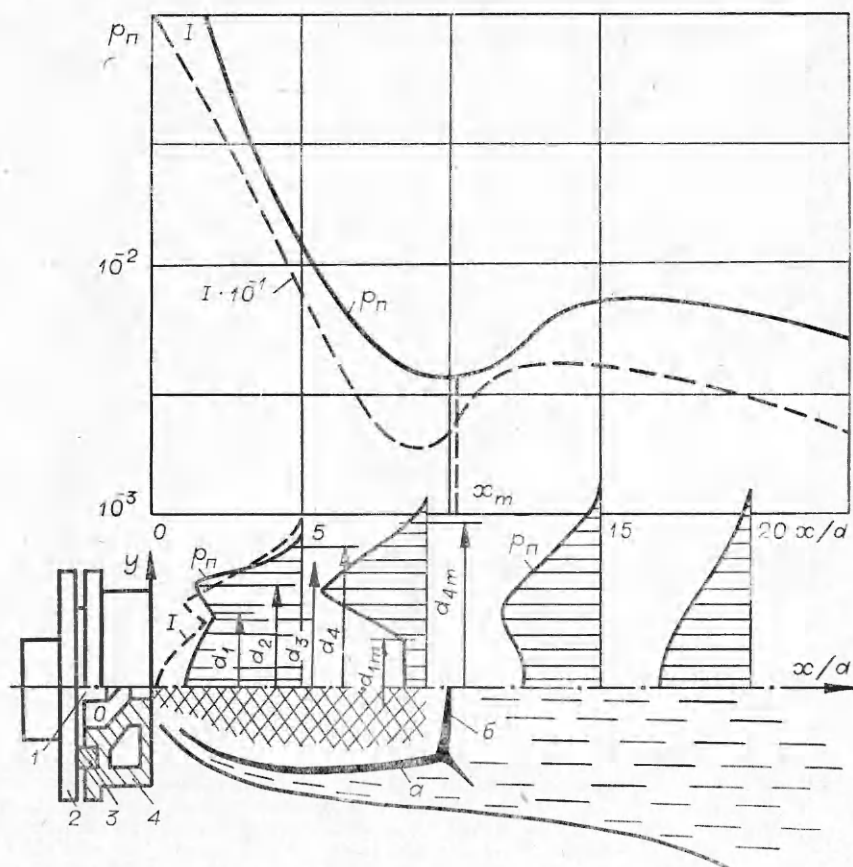
(Ленинград)

Изучению газодинамической структуры сверхзвуковых струй газа и плазмы посвящено значительное число экспериментальных исследований. Например, в работах [1—3] исследовались недорасширенные разреженные струи холодного воздуха, азота и аргона за звуковыми соплами при истечении в затопленное пространство. Исследования [4—6] относятся к струям плазмы с малой степенью ионизации и температурой торможения  $T_0 \lesssim 4,5 \cdot 10^3$  К. Авторами получены достаточно подробные данные о картине течения и характерных размерах начального участка. Однако подобные исследования для струй плазмы с существенной степенью ионизации отсутствуют. Экспериментальные исследования таких струй (см., например, [7, 8]) содержат в основном данные о закономерностях свободного расширения плазмы и ходе электронно-ионных процессов в струях. Представляет существенный интерес выяснение особенностей газодинамической структуры плазменных струй по сравнению с газовыми струями и попытка обобщения данных о характерных размерах начального участка таких струй.

Картина течения на начальном участке сверхзвуковых газовых струй, истекающих из звукового сопла в затопленное пространство, определяется степенью расширения  $N$  (отношение давления в камере торможения  $p_0$  к давлению в окружающей среде  $p_\infty$ ), отношением удельных теплоемкостей газа  $\gamma$ , числом Рейнольдса  $Re_L = Re_* N^{-0,5}$  [1] ( $Re_*$  — число Рейнольдса, рассчитанное по параметрам в критическом сечении), температурным фактором  $\tau = T_0/T_\infty (T_0$  и  $T_\infty$  — температура торможения и окружающей среды соответственно).

В случае достаточно сильно ионизированных плазменных струй электротермических источников имеется ряд существенных особенностей. Прежде всего заметно отличны условия истечения из сопла, что выражается, в частности, в неизэнтропическом характере течения по соплу вследствие джоулева нагрева в дуге и сильной неравномерности параметров в поперечном сечении. Существенное влияние на газодинамические параметры на срезе сопла и в поле течения струи в общем случае оказывают релаксационные процессы.

**1. Диапазон исследований и методы диагностики.** Изучалась струя плазмы аргона, истекавшая в стационарном режиме из звукового сопла электродугового источника постоянного тока с газовой стабилизацией дуги в вакуумную камеру объемом 10 м<sup>3</sup>. Схема источника приведена на фиг. 1. Катод с вольфрамовым наконечником 1 и корпусом 2 отделен от медного анода-сопла 4 изолирующей прокладкой 3. Катод и анод охлаж-



Фиг. 1

даются водой. Звуковые сопла имели диаметр  $d$ , равный 2 и 5 мм, и длину цилиндрической части, равную  $d$ .

Исследования выполнены в диапазоне  $p_0 = 10^4 - 10^5$  Па,  $T_0 = (6 - 12) \cdot 10^3$  К при изменении тока дуги от 75 до 500 А и расхода аргона  $G$  от 0,1 до 1 г/с. Среднемассовая температура торможения определялась по данным теплового баланса плазмотрона. При этом определяющие безразмерные параметры изменялись в следующих пределах:  $N = 25 - 750$ ,  $\tau = 20 - 40$ ,  $Re_* = 4G/\pi d\eta = 100 - 2000$ ,  $Kn_L = 1,26\gamma^{0.5} Re_L^{-1} = 0,01 - 0,1$ . Коэффициент динамической вязкости  $\eta$  определяется по температуре и давлению в критическом сечении, вычисленным в предположении пзэнтропического расширения в сопле плазмотрона и  $\gamma = 1,67$ . Характеристика отдельных режимов дана в таблице.

Основой для анализа газодинамической структуры служили поля полных напоров и фотонегативы струй. В качестве датчиков полного напора использовались цилиндрические водоохлаждаемые насадки с плоским торцом и наружным диаметром от 2 до 6 мм. Отношение наружного диаметра к диаметру приемного отверстия равнялось 1,25. Насадки малого диаметра применялись для измерений вблизи среза сопла. Регистрация давления осуществлялась вакуумметрами типа ВТ и ВСБ. Преобразователи вакуумметров типа МТ-6 и ЛТ-2 устанавливались в герметичных термостатированных боксах и соединялись непосредственно с насадками. Для измерения также использовались наклонные жидкостные манометры. В качестве рабочей жидкости применялся дпбутилфталат. Погрешность измерения давления не превышала 20 %.

Номер режима	$p_0 \cdot 10^{-4}$ , Па	$T_0 \cdot 10^{-3}$ , К	$Re_* \cdot 10^{-2}$	$N \cdot 10^{-2}$	$Kn_L \cdot 10^2$
1	3,57	0,3	20	0,94	0,78
2	5,09	6	14	1,02	1,20
3	3,99	7	9,9	1,14	1,80
4	5,97	9	9,9	1,57	2,10
5	7,33	11,2	8,1	2,07	2,90
6	2,53	6	5,24	0,95	3,00
7	2,06	10	2,54	0,44	4,00
8	4,10	11,0	4,46	1,65	4,70
9	4,74	12,5	4,05	1,91	5,50
10	2,19	10,5	2,54	0,84	5,80
11	2,95	9,6	4,25	3,53	7,25
12	1,99	10	2,54	3,00	11,5
13	2,70	12,2	2,30	4,06	14,3
14	1,09	10	1,3	2,05	18,5
15	1,06	9,0	7,0	7,5	6,43
16	1,46	7,2	2,8	1,24	6,43
17	2,26	10,0	2,54	1,06	6,5
18	2,46	12,0	2,35	0,8	6,4
19	2,26	10,0	2,54	2,5	10,3
20	2,53	12,3	2,3	1,4	10,2
21	1,33	12,0	1,2	2,66	22,3

Как показал методический эксперимент с использованием датчиков полного напора различного диаметра, поправка к показаниям приемника, учитывающая разреженность потока и определяемая с использованием результатов работ [9, 10], не превышала погрешность измерения и нами не учитывалась. Измеряемые значения давления были не ниже 65 Па, что позволило, согласно работе [11], не учитывать поправку на термическую транспирацию в насадке.

Фотографирование струи производилось фотоаппаратом «Зенит-4» на кинопленку типа КН-2. Фотометрирование негативов с целью получения кривых интенсивностей излучения выполнялось на микрофотометре МФ-4.

**2. Картина течения.** Газодинамическая структура исследованных струй плазмы в основных чертах аналогична структуре сверхзвуковых газовых струй. В струе можно выделить начальный, переходный и основной участки. На начальном участке наблюдается характерная волновая структура. Начальный участок (см. фиг. 1) состоит из одной «бочки», образованной висячими (a) и центральным (б) скачками уплотнения. Положение скачков уплотнения визуально подчеркивается наличием перед ними «темной» области — зоны пониженной интенсивности излучения (незаштрихованная зона на фиг. 1). Образование «темного» пространства объясняется тем, что вследствие повышения электронной температуры перед ударной волной происходит уменьшение скорости столкновительно-излучательной рекомбинации и соответствующее понижение интенсивности излучения, носящего в данных условиях в основном рекомбинационный характер [12].

В исследованном диапазоне параметров на начальном участке реализовался ламинарный режим течения. Диапазон чисел  $Kn_L = 0,01 - 0,1$  соответствует по степени разреженности переходному режиму течения. Число  $Kn_L$  приближенно имеет смысл отношения средней длины свободного пробега в области за центральным скачком уплотнения (маховским диском) к расстоянию до него от среза сопла. При  $Kn_L < 0,01$  волновая структура начального участка наблюдается довольно четко. При увеличении  $Kn_L$  происходит постепенное размытие волновой структуры. При  $Kn_L > 0,1$  висячий скачок сливаются со слоем смешения, волновую

структуре уже нельзя рассматривать как изолированные скачки уплотнения.

На фиг. 1 изображены характерные продольные и поперечные распределения относительного полного напора  $p_{\Pi} = p'_0/p_0$  ( $p'_0$  — полный напор, измеряемый насадком) и интегральной интенсивности излучения  $I$ , отнесенной к ее значению на срезе сопла.

При наблюдении зависимости газодинамической структуры струи от определяющих параметров проводились измерения ряда характерных размеров начального участка. В качестве характерного продольного размера выбрано расстояние до маховского диска  $x_m$ . Оно измерялось как расстояние от среза сопла до минимума в осевом распределении  $p_{\Pi}(x)$  или точки перегиба кривой  $I(x)$  (см. фиг. 1). Согласно работе [2], для газовых струй в аналогичных условиях минимуму  $p_{\Pi}$  в осевом распределении приближенно соответствует точка перегиба кривой плотности газа в области маховского диска. С другой стороны, согласно [12], в области центрального скачка уплотнения изменение  $I(x)$  подобно изменению плотности электронов. Эта закономерность исследована экспериментально в работах [13, 14]. Таким образом, в условиях экспериментов можно ожидать, что размеры  $x_m$ , определяемые по кривым  $p_{\Pi}(x)$  и  $I(x)$ , будут близки. Опыт подтвердил это предположение.

В поперечном сечении  $x = 0,35 dN^{0,5}$ , примерно соответствующем середине первой «бочки» начального участка струи, измерялись следующие условные характерные размеры (см. фиг. 1):  $d_1$  — минимальный диаметр висячего скачка уплотнения (расстояние между минимумами на кривой  $p_{\Pi}(y)$  или точками перегиба на кривой  $I(y)$ ),  $d_2$  — диаметр сжатого слоя (расстояние между максимумами на кривой  $p_{\Pi}(y)$ ),  $d_3$  — диаметр сверхзвукового ядра струи (расстояние между точками на профиле  $p_{\Pi}(y)$ , где  $p'_0/p_{\infty} = p_{\Pi}N = \left(\frac{\gamma+1}{2}\right)^{\gamma/(\gamma-1)}$  при  $\gamma=1,67$ ),  $d_4$  — диаметр струи (расстояние между точками на кривой  $p_{\Pi}(y)$ , где  $p_{\Pi}N = 1,05$ ). В сечении  $x = 0,9 x_m$  измерялись диаметр висячего скачка  $d_{1m}$  и диаметр струи  $d_{4m}$  (аналогично  $d_1$  и  $d_4$  соответственно).

**3. Результаты экспериментов и их анализ.** В исследованном диапазоне параметров значения  $x_m$  не зависят от  $Kn_L$ ,  $\tau$  и достаточно хорошо обобщаются зависимостью (кривая  $I$  на фиг. 2)

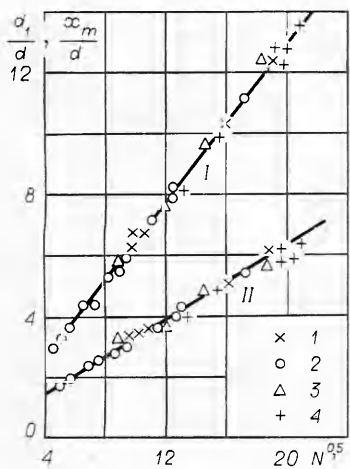
$$(3.1) \quad x_m = (0,65 \pm 0,03)dN^{0,5}.$$

На фиг. 2 режимы с одинаковыми  $T_0$  обозначены точками: 1 —  $T_0 = 7 \cdot 10^3$  К, 2 —  $10^4$  К, 3 —  $1,1 \cdot 10^4$  К, 4 —  $1,2 \cdot 10^4$  К. Значения  $x_m$ , полученные по осевым профилям  $p'_0$  и  $I$ , удовлетворительно согласуются друг с другом. Зависимость (3.1) дает расстояние от среза сопла до центра утолщенного маховского диска. Сравнение формулы (3.1) с результатами работ [3] ( $x_m = 0,645dN^{0,5}$ ) и [15] ( $x_m = 0,67dN^{0,5}$ ), полученными для плотных сильно недорасширенных газовых струй при истечении из звукового сопла, когда центральный скачок фактически является газодинамическим разрывом, обнаруживает достаточно хорошее совпадение. Следует, однако, отметить, что в исследуемом переходном режиме течения на начальном участке в отличие от сплошного режима протяженность области свободного расширения вдоль оси струи меньше  $x_m$ .

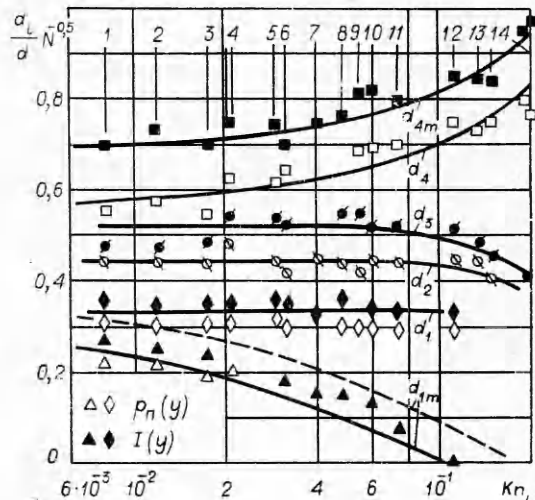
Опыты не обнаруживают существенного влияния  $Kn_L$  и  $\tau$  на величину  $d_1$ . Экспериментальные данные аппроксимируются зависимостью (кривая II на фиг. 2)

$$d_1 = (0,33 \pm 0,02)dN^{0,5}.$$

Относительно слабо влияет изменение разреженности на величину  $d_2$  и  $d_3$  (фиг. 3, сверху указан номер режимов из таблицы). Влияние становится



Ф и г. 2



Ф и г. 3

заметным при  $Kn_L > 0,1$ . Опытные данные для  $d_2$  и  $d_3$  обобщаются эмпирическими зависимостями:

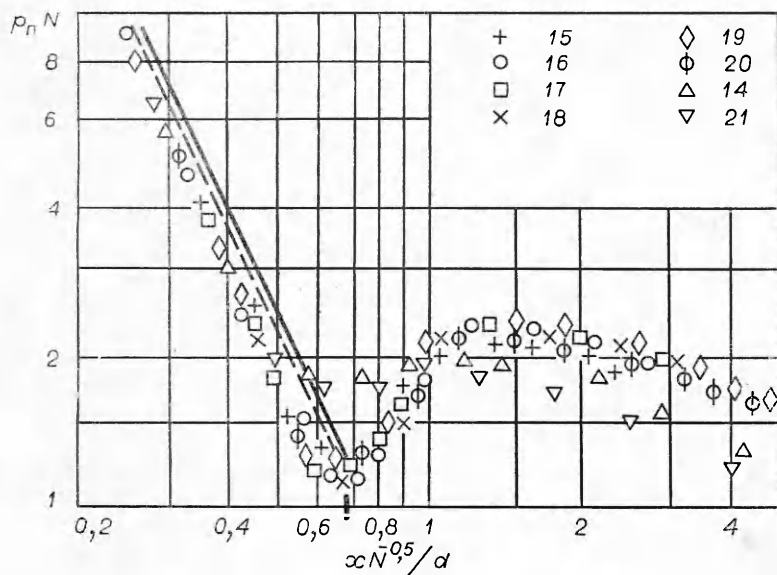
$$d_2 = 0,45(1 - 0,3Kn_L^{0,5}) dN^{0,5}, \quad d_3 = 0,52(1 - 0,3Kn_L^{0,5}) dN^{0,5}.$$

Более существенно влияние  $Kn_L$  на положение условной границы струи. Для  $d_4$  и  $d_{4m}$  получены эмпирические формулы:

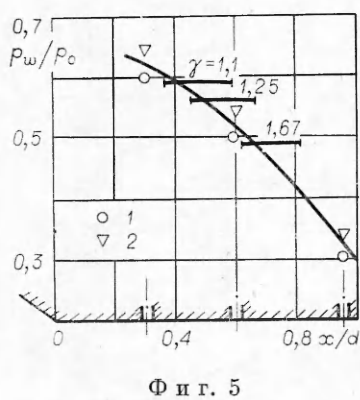
$$d_4 = 0,57(1 + 2,3 Kn_L) dN^{0,5}, \quad d_{4m} = 0,7(1 + 1,85 Kn_L) dN^{0,5}.$$

С увеличением  $Kn_L$  происходит оттеснение висячего скачка к оси струи и расширение вязкого слоя смешения. Этот эффект наиболее заметен в сечениях, расположенных непосредственно перед маховским диском. Опытные данные для  $d_{1m}$  обобщаются зависимостью

$$d_{1m} = 0,33(1 - 3Kn_L^{0,5}) dN^{0,5}.$$



Ф и г. 4



Фиг. 5

Приведенные для  $d_{1m}$  данные близки к результатам, полученным для аналогичных газовых струй. На фиг. 3 штриховая кривая соответствует данным работы [1] для воздушной струи ( $\tau = 1$ ), приведенным к  $\gamma = 1,67$  с учетом приближенной зависимости  $d_{1m} \sim \gamma^{-1}$  [16].

Результаты измерений полного давления на оси струи при  $Kn_L \leq 0,1$  достаточно хорошо обобщаются в координатах  $p_{\pi}N$ ,  $x/dN^{0,5}$  не только в области свободного расширения, но и за маховским диском. При  $Kn_L > 0,1$  наблюдаются расложение кривых по  $Kn_L$  и их сглаживание в области маховского диска.

В пределах области свободного расширения экспериментальные значения  $p_{\pi}$  примерно на 20% ниже значений  $p_{\pi}$  для идеального совершенного одноатомного газа (сплошная кривая на фиг. 4, сверху указан номер режима из таблицы). Численные оценки показывают, что наблюдаемое различие не может быть объяснено возможным уменьшением эффективного значения  $\gamma$ . На фиг. 4 положение минимума  $p_{\pi}(x)$ , отмеченное на оси абсцисс, соответствует зависимости (3.1).

С целью определения влияния вязких эффектов на течение в сопле были выполнены измерения давления на стенке цилиндрической части сопла  $p_w$  (фиг. 5) для случаев: 1 —  $Re_* = 120$ ,  $T_0 = 9 \cdot 10^3 K$ , 2 —  $Re_* = 250$ ,  $T_0 = 9 \cdot 10^3 K$ . Опыты показали, что вдоль сопла  $p_w$  уменьшается и на срезе сопла значительно меньше значения  $p_w/p_0 = \left(\frac{\gamma+1}{2}\right)^{-(\gamma-1)}$ , соответствующего изэнтропическому расширению до числа Маха  $M = 1$ . (Значения  $p_w/p_0$  для различных  $\gamma$  приведены на фиг. 5 горизонтальной отметкой.)

Наблюдаемый характер изменения  $p_w$  (штриховая линия) может быть объяснен уменьшением эффективной толщины вытеснения пограничного слоя вблизи выходного сечения сопла при истечении в режиме недорасширения [17]. При этом критические параметры достигаются выше по течению от среза сопла, а на срезе сопла реализуется сверхзвуковое истечение. В предположении изэнтропического расширения при  $\gamma = 1,67$  измеренные значения соответствуют числу Маха в выходном сечении сопла  $M_a = 1,3$ . Следует отметить, что такое увеличение  $M_a$  не может объяснить наблюдаемое отклонение  $p_w$  от модели идеального газа. На фиг. 4 штриховая кривая соответствует случаю  $M_a = 2$ ,  $\gamma = 1,67$ . По нашему мнению, основной причиной понижения  $p_w$  в исследованных струях плазмы по сравнению со случаем расширения идеального совершенного газа является потеря полного давления при движении плазмы по цилиндрическому соплу при наличии подвода тепла [18, 19].

Сравнение полученных эмпирических зависимостей для характерных размеров начального участка с аналогичными результатами для газовых струй за звуковым соплом [1, 3, 4] показывает, что характерные размеры исследованных струй на 10—20% меньше, чем для газовых струй. По-видимому, согласие может быть улучшено при учете потери полного давления в сопле плазмотрона. Влияние степени расширения  $N$  и разреженности  $Kn_L$  на параметры и характерные размеры начального участка аналогично влиянию этих факторов на параметры подобных газовых струй. В пределах точности экспериментов влияние температурного фактора ( $\tau = 20—40$ ) на газодинамическую структуру выражено слабо.

Поступила 26 II 1980

## ЛИТЕРАТУРА

1. Авдуевский В. С., Иванов А. В. и др. Влияние вязкости на течение на начальном участке сильно недорасширенной струи.— ДАН СССР, 1971, т. 197, № 1.
2. Волчков В. В., Иванов А. В. и др. Струи низкой плотности за звуковым соплом при больших перепадах давления.— ПМТФ, 1973, № 2.
3. Crist S., Sherman B. M., Glass D. R. Study of the highly underexpanded sonic jet.— AIAA J., 1966, vol. 4, N 1.  
Рус. пер. Исследование сильно недорасширенной звуковой струи.— Ракетн. техн. и космонавтика, 1966, т. 4, № 1.
4. Кузнецова Л. И., Ребров А. К., Ярыгин В. И. Высокотемпературные струи аргона низкой плотности за звуковым соплом.— ПМТФ, 1973, № 3.
5. Ющенкова Н. И., Лыжникова С. А., Немченко В. И. К вопросу о структуре сверхзвуковых струй газа и низкотемпературной плазмы.— В кн.: Явления переноса в низкотемпературной плазме. Минск: Наука и техника, 1969.
6. Ющенкова И. И., Камаев Б. Д. и др. Структура и параметры сверхзвуковой струи низкотемпературной плазмы и явления переноса в струях.— В кн.: Теплофизические свойства жидкости и газов при высоких температурах и плазмы. Комитет стандартов. М., 1969.
7. Гольдфарб В. М., Ильина Е. В. и др. Исследование сверхзвуковой струи разреженной аргоновой плазмы.— ПМТФ, 1967, № 1.
8. Witte A., Kubota T., Lees L. Experimental investigation of a highly ionized arc-heated supersonic free jet.— AIAA J., 1969, vol. 7, N 2. Рус. пер. Экспериментальное исследование электродуговой свободной сверхзвуковой струи с высокой степенью ионизации.— Ракетн. техн. и космонавтика, 1969, т. 7, № 2.
9. Сухнев В. А. Об определении поправок к показаниям насадков полного напора в сверхзвуковом потоке разреженного газа.— Изв. АН СССР. Механика и машиностроение, 1964, № 5.
10. Дресвин С. В., Донской А. В. и др. Физика и техника низкотемпературной плазмы. М.: Атомиздат, 1972.
11. Arney G. D., Bailey A. B. Effect of temperature on pressure measurements.— AIAA J., 1963, vol. 1, N 12. Рус. пер. Влияние температуры на измерения давления.— Ракетн. техн. и космонавтика, 1963, № 12.
12. Kirchhoff R. H., Talbot L. An experimental study of the shock structure in a partially ionized gas.— AIAA J., 1971, vol. 9, N 6. Рус. пер. Экспериментальное исследование структуры ударной волны в частично ионизованном газе.— Ракетн. техн. и космонавтика, 1971, т. 9, № 6.
13. Жинжиков Г. М., Лукьянов Г. А. и др. Излучение сверхзвуковой струи плазмы аргона.— В кн.: Тезисы III Всесоюз. конф. по динамике излучающего газа. М., 1977.
14. Лукьянов Г. А., Назаров В. В. и др. Исследование параметров начального участка недорасширенных сверхзвуковых струй плазмы электродугового плазмотрона.— В кн.: Тезисы VII Всесоюз. конф. по генераторам низкотемпературной плазмы. Т. 1. Алма-Ата, 1977.
15. Ashkenas H. Z., Sherman F. S. The structure and utilization of supersonic free jets in low density wind tunnels.— In: Rarefied Gas Dynamics. 4th Intern. Symp. Proc. Vol. 2. N. Y.— L.: Acad. Press, 1966.
16. Авдуевский В. С., Иванов А. В. и др. Течение в сверхзвуковой вязкой недорасширенной струе.— Изв. АН СССР. МЖГ, 1970, № 3.
17. Берд Г. А. Задача об окрестности кромки сопла.— В сб.: Динамика разреженного газа. Механика. Новое в зарубежной науке. М.: Мир, 1976, № 6.
18. Абрамович Г. И. Прикладная газовая динамика. М.: Наука, 1969.
19. Назаренко И. П., Паневин И. Г. Влияние осевого потока газа на характеристики дуги, горящей в цилиндрическом канале.— В кн.: Моделирование и методы расчета физико-химических процессов в низкотемпературной плазме. М.: Наука, 1974.